

# Révisions (induction et conduction thermique)

MP\* LPK

À chercher en classe le jeudi 31 mars 2022

Extrait d'un sujet Centrale-Supélec 2011

### III Physique du skeleton

Le skeleton est un sport d'hiver qui se pratique dans un couloir de glace en pente : le coureur s'allonge sur une planche qui glisse sur la glace en prenant appui sur des patins.

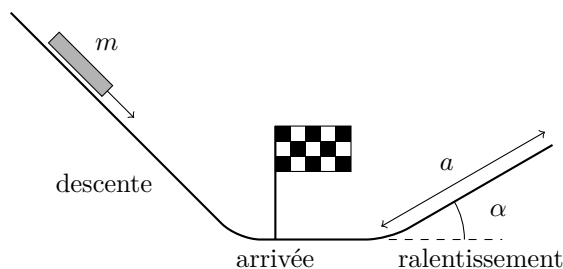


Figure 6

#### III.A – Question préliminaire

L'ensemble coureur + skeleton est assimilé à un solide de masse  $m = 100 \text{ kg}$  pouvant glisser sans frottement. Il franchit la ligne d'arrivée avec une vitesse  $v_0$  et se ralentit simplement en montant une pente faisant un angle  $\alpha$  avec l'horizontale. Déterminer la longueur  $a$  de piste nécessaire au ralentissement.

Application numérique : on prendra  $v = 30 \text{ m} \cdot \text{s}^{-1}$  et  $g = 10 \text{ m} \cdot \text{s}^{-2}$  et on considérera une pente de 5%.

L'infrastructure ne se prêtant pas à la réalisation d'une piste inclinée de décélération on envisage un autre type de freinage ; c'est ce freinage et ses conséquences que l'on va étudier dans la suite du problème.

#### III.B – Freinage du skeleton

On fixe sous la planche un cadre métallique conducteur ayant la forme d'un rectangle de côtés  $\ell \times L$ .

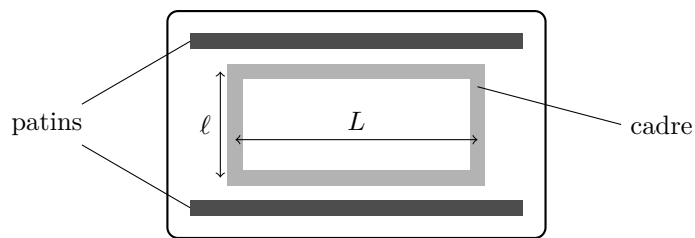


Figure 7 Skeleton vu de dessous

La piste de décélération est horizontale ; on considérera un référentiel  $(Oxyz)$  galiléen lié au sol : l'origine  $O$  est prise au point d'arrivée, l'axe  $Ox$  le long de la piste de décélération (qui correspond donc à  $x > 0$ ), l'axe  $Oy$  selon la verticale ascendante. Un dispositif adéquat crée un champ magnétique  $\vec{B} = B_0 \vec{e}_y$  stationnaire et uniforme sur toute ou partie de la longueur de piste de décélération (et sur toute la largeur de la piste).

**III.B.1)** Le champ magnétique est étendu à toute la zone  $x > 0$ .

a) La position du cadre est repérée par l'abscisse  $x$  de son extrémité avant et on suppose  $x = 0$  à  $t = 0$ . Établir l'équation différentielle à laquelle obéit la vitesse  $v = dx/dt$  ; on distinguera deux phases dans le mouvement.

Mettre en évidence un temps caractéristique  $\tau$  que l'on exprimera en fonction de  $B_0$ ,  $m$ ,  $\ell$  et  $R$  (résistance du cadre).

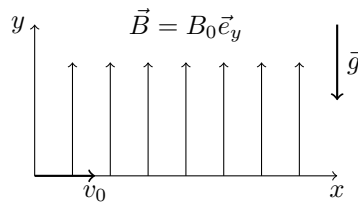


Figure 8

b) Déterminer  $x(t)$  pendant la phase de décélération et montrer que l'engin ne stoppe qu'à condition que  $L$  soit supérieure à une certaine valeur que l'on précisera. Montrer par une application numérique que ceci n'est pas réalisé et déterminer la vitesse finale du skeleton. En tout état de cause serait-il réaliste de n'envisager que ce freinage pour arrêter l'appareil ?

On donne :  $\ell = 30$  cm,  $L = 50$  cm,  $B = 1,0$  T et  $R = 1,0 \times 10^{-2} \Omega$ .

**III.B.2)** On suppose à présent que le champ magnétique (stationnaire et uniforme) n'est non nul que dans la zone comprise entre  $x = 0$  et  $x = d$ .

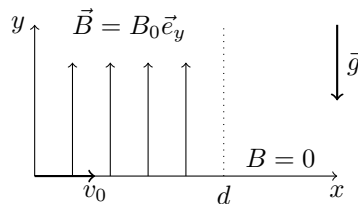


Figure 9

a) Si  $L \geq d$ , montrer qualitativement qu'il existe deux phases de freinage séparées par une phase où la vitesse reste constante et déterminer la vitesse à l'issue des deux phases de freinage.

b) Même question si  $L \leq d$ .

c) Quelle valeur doit-on donner à  $d$ , en fonction de  $L$ , pour optimiser le freinage ?

**III.B.3)** On place  $N$  zones de freinage identiques à la précédente séparées les unes des autres d'une distance  $D$ . Quelle doit être la distance  $D$  pour encore une fois optimiser le freinage ?

Quelle valeur donner à  $N$  pour stopper le skeleton ? En déduire la distance d'arrêt et comparer sa valeur numérique aux valeurs trouvées à la [question III.B.1](#) et à la question préliminaire.

#### III.B.4) Applications numériques

a) Quelle est la durée de chaque phase de freinage ? Quelle devrait être la durée totale du freinage ? Conclusion ?

b) On peut alors choisir un freinage « hybride » : freinage électromagnétique d'abord jusqu'à ce que la vitesse soit  $v_1 = 10 \text{ m} \cdot \text{s}^{-1}$ , puis freinage mécanique ensuite. Déterminer la durée du freinage électromagnétique ainsi que le nombre de zones de champ nécessaire.

#### III.C – Refroidissement du cadre

**III.C.1)** Dans un milieu homogène et isotrope caractérisé par sa masse volumique  $\mu$ , sa capacité thermique massique  $c$  et sa conductivité thermique  $\lambda$  établir l'équation aux dérivées partielles à laquelle obéit le champ de température  $T$ .

On se préoccupe de l'élévation de température dans le cadre consécutive au passage du courant.

**III.C.2)** On modélise les côtés du cadre comme des cylindres de rayon  $a$  (et de section  $s = \pi a^2$ ) dans lequel la température  $T$  ne dépend que de  $r$ , distance à l'axe, et du temps  $t$ . Le cadre est en cuivre :

- de masse volumique  $\mu = 8,9 \times 10^3 \text{ kg} \cdot \text{m}^{-3}$ ,
- de résistivité électrique  $\rho = 1,7 \times 10^{-8} \Omega \cdot \text{m}$ ,
- de conductivité thermique  $\lambda = 390 \text{ W} \cdot \text{K}^{-1} \cdot \text{m}^{-1}$ ,
- et de capacité thermique massique  $c = 390 \text{ J} \cdot \text{K}^{-1} \cdot \text{kg}^{-1}$  ;
- sa section est  $s = 1,0 \text{ cm}^2$ .

Donner et calculer le temps caractéristique des transferts thermiques dans le cylindre et comparer ce temps au temps d'arrêt de l'engin calculé à la question [III.B.4b](#). Commenter.

Dans toute la suite du problème la température du cadre sera considérée comme uniforme :  $T$  ne dépendant que du temps éventuellement.

**III.C.3)** Considérant qu'on puisse négliger les transferts thermiques vers l'extérieur pendant la phase d'échauffement, déterminer ainsi la variation de température  $\Delta T$  du cadre en fonction de  $m'$  (masse du cadre),  $m$ ,  $v_0$  et  $c$  (on considérera, pour simplifier, que la vitesse est nulle à l'issue de la phase de freinage électromagnétique). On fera l'application numérique.

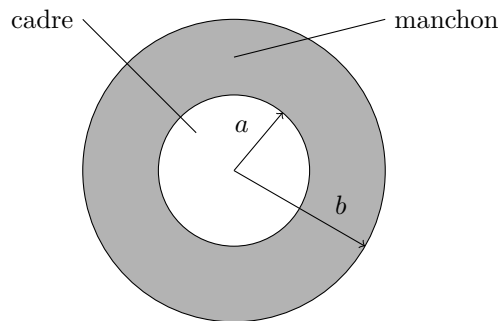
**III.C.4)** Après arrêt du skeleton le cadre se refroidit. Au cours de cette phase de refroidissement, la température  $T_C$  du cadre est supposée uniforme mais dépendant du temps :  $T_C(t)$  passe ainsi de  $T_1$  à  $T_0$  température de l'air, supposée uniforme et constante. Les transferts thermiques entre le cadre et l'air ont lieu selon un mode dit conducto-convectif; il y a une discontinuité de température entre le cadre et l'air : la température  $T_0$  est différente de  $T_C$ . La puissance thermique transférée vers l'air par unité de surface latérale du cylindre est  $P_{th} = h(T_C - T_0)$  où  $h$  est un coefficient supposé positif et constant.

a) Déterminer l'équation différentielle satisfaite par  $T_C(t)$  et donner le temps caractéristique du refroidissement en fonction des paramètres déjà introduits.

b) *Application numérique*

Déterminer ce temps avec  $h = 10 \text{ W} \cdot \text{m}^{-2} \cdot \text{K}^{-1}$ .

**III.C.5)** On a l'idée d'entourer le cadre cylindrique d'un manchon isolant thermique. Le manchon isolant est de conductivité thermique  $\lambda_{is}$  et de rayon  $b$ .



**Figure 10** Manchon isolant

a) On commence par raisonner en régime supposé permanent : la température du cadre est  $T_C$  indépendante de  $t$ . Le champ de température dans l'isolant ne dépend que de  $r$  : on note  $T_{is}(r)$  la température dans l'isolant. Entre l'isolant et l'air (de température toujours supposée égale à  $T_0$ ) existe encore un transfert thermique de type conducto-convectif possédant les mêmes caractéristiques que précédemment à ceci près que la température  $T_C$  doit être remplacée par  $T_{is}(b)$  :  $P_{th} = h(T_{is}(b) - T_0)$ . Ce mode de transfert n'existe pas entre le cadre et l'isolant, on a donc  $T_{is}(a) = T_C$ .

Établir l'équation différentielle vérifiée par  $T_{is}(r)$  puis montrer que la puissance thermique  $P$  cédée par l'unité de longueur du cadre peut s'écrire

$$P = K \frac{x}{1 + \frac{ha}{\lambda_{is}} x \ln x}$$

où  $x = b/a$ ,  $K$  étant une constante que l'on exprimera en fonction de  $h$ ,  $a$ ,  $T_0$  et  $T_C$ . À quoi correspond cette constante  $K$  ?

b) Tracer la courbe montrant la dépendance de  $P$  avec  $x$ ; on fera apparaître deux types de comportement possibles que l'on interprétera physiquement.

On donne  $\lambda_{is} = 0,10 \text{ W} \cdot \text{m}^{-1} \cdot \text{K}^{-1}$  déterminer l'épaisseur d'isolant à placer pour que le refroidissement s'effectue le plus rapidement possible.

c) On suppose le régime quasi-permanent : les résultats précédents sont supposés pouvoir être appliqués à chaque instant. Déterminer le nouveau temps caractéristique du refroidissement du cadre lorsque l'isolant a l'épaisseur calculée ci-dessus.

---

• • • FIN • • •

---